

## توسعه یک مدل تحلیلی از علل و پیامدهای ناشی از خروج از خط قطار مسافری در راه آهن جمهوری اسلامی ایران

محمدعلی رضوانی، استادیار، دانشکده مهندسی راه آهن، دانشگاه علم و صنعت ایران، تهران، ایران  
احسان جعفریان (مسئول مکاتبات)، کارشناس ارشد، دانشکده مهندسی راه آهن، دانشگاه علم و صنعت ایران، تهران، ایران

E-mail: rezvani\_ma@iust.ac.ir

تاریخ دریافت: ۹۰/۱۱/۰۵      تاریخ پذیرش: ۹۱/۰۲/۱۰

### چکیده

در این پژوهش پیشامد نامطلوب خروج از خط قطار با هدف ارایه مدل و تحلیلی پرجزئیات از علل پدیدآورنده و سناریوهای بالقوه ناشی از وقوع آن مورد ارزیابی قرار می‌گیرد. برای دستبایی به این هدف از تکنیک تجزیه و تحلیل درخت و درخت وقایع یکپارچه استفاده می‌شود. به دلیل ماهیت غیردقیق و غیرقطعی داده‌های موجود، امکان استفاده از رویکرد سنتی تکنیک تجزیه و تحلیل درخت خطا و درخت وقایع یکپارچه برای این کاربرد وجود ندارد. بنابراین، این پژوهش رویکرد فازی تکنیک تجزیه و تحلیل درخت خطا و درخت وقایع یکپارچه را مورد استفاده قرار می‌دهد. برای این منظور، ابتدا با استفاده از داده‌های جمع‌آوری شده از منابع گوناگون، مدلی پرجزئیات از علل و سناریوهای ممکن ایجاد می‌گردد، سپس ضمن کمی‌سازی مدل ایجاد شده، احتمال و عدد ریسک متناظر با پیشامد نامطلوب خروج از خط قطار تعیین شده و مدل با هدف تعیین سیم علل، مسیرهای علی و سناریوهای گوناگون در ریسک و عدم قطعیت متناظر با خروج از خط قطار مورد ارزیابی و تحلیل قرار می‌گیرد. برای مورد بررسی شده در این مقاله، پیشامدهای "تنظیم اشتباہ سوزن" و "عدم تشخیص معیوب بودن بخشی از قطعه خط" به ترتیب به عنوان بحرانی‌ترین علل ریشه‌ای برای ریسک کل و عدم قطعیت خروجی شناسایی شدند.

**واژه‌های کلیدی:** خروج از خط قطار، ارزیابی احتمالی ریسک، تجزیه و تحلیل درخت خطا و درخت وقایع یکپارچه، منطق فازی

معین به صورت همزمان مورد ارزیابی و تجزیه و تحلیل قرار گیرد [Stapelberg et.al, 2010] و [Doménech et.al, 2009]. از آنجاکه داده‌های موجود در زمینه این مطالعه، داده‌هایی غیردقیق و غیرقطعی هستند، این پژوهش، رویکرد فازی تکنیک تجزیه و تحلیل درخت خطا و درخت وقایع را برای ارزیابی این پیشامد نامطلوب مورد استفاده قرار می‌دهد.

در این پژوهش ابتدا ضمن ارایه مقدمه‌ای بر نظریه مجموعه‌های فازی، تکنیک تجزیه و تحلیل درخت خطا و درخت وقایع یکپارچه به صورت کلی مورد بررسی قرار می‌گیرد. سپس با استفاده از اطلاعات کسب شده از منابع مدلی پرجزئیات از علل ریشه‌ای و سناریوهای بالقوه ناشی از وقوع خروج از خط قطار مسافری ارایه می‌شود و این مدل با هدف فراهم آوردن دیدی پرجزئیات از پیشامد نامطلوب خروج از خط قطار مسافری، کمی‌سازی شده و مورد ارزیابی و تجزیه و تحلیل قرار می‌گیرد. مدلسازی و تحلیل ارایه شده در این پژوهش، از طریق فراهم آوردن دیدی پرجزئیات از علل و سناریوهای بالقوه ناشی از وقوع پیشامد نامطلوب خروج از خط، تصمیم‌گیرنده را در طراحی و اتخاذ اقدامات اصلاحی و راهکارهایی کارآ در راستای کاهش ریسک مرتبط یاری رساند.

## ۲. مقدمه‌ای بر نظریه مجموعه‌های فازی

به منظور درک بهتر مفاهیم مطرح شده در مقاله، در این بخش مقدمه‌ای بر نظریه مجموعه‌های فازی ارایه می‌شود.

### ۱-۲ اعداد فازی

یک عدد فازی ابزاری مفید است که می‌تواند به صورتی کارآ به منظور مدل کردن سیستم در شرایط عدم قطعیت و غیردقیق بودن داده‌ها مورد استفاده قرار گیرد. این مقاله از نوع خاصی از اعداد فازی تحت عنوان اعداد فازی مثلثی استفاده می‌کند. تابع عضویت یک عدد فازی مثلثی با استفاده از سه پارامتر  $\{a, b, c\}$

و به صورت زیر تعریف می‌شود:

$$\mu_A(x) = \begin{cases} (x - a)/(b - a), & a \leq x \leq b, \\ (c - x)/(c - b), & b \leq x \leq c, \\ 0, & \text{otherwise.} \end{cases} \quad (1)$$

### ۱. مقدمه

از آغازین روزهای بهره‌برداری از صنعت حمل و نقل ریلی، خروج از خط، به عنوان یکی از مهم‌ترین نگرانیها، ذهن شرکتهای بهره‌بردار را به خود مشغول کرده است. ویژگی حرکت چرخ بر روی ریل که مسیری مشخص و انعطاف ناپذیر است، این صنعت را با چالش منحصر به فرد حفظ چرخها بر روی ریل روبرو می‌کند. صنعت حمل و نقل ریلی، در سالهای اخیر پیشرفت قابل توجهی را تجربه کرده است و سطح اینمی آن در مقایسه با سالهای آغازین بهره‌برداری از این صنعت بهبود قابل توجهی یافته است. ولی با وجود این پیشرفت‌ها، هنوز هم سوانح و حوادثی نظیر خروج از خط به کرات رخ می‌دهد و هزینه‌های هنگفتی را به شرکتهای بهره‌بردار و جامعه تحمیل می‌کند [Iwnicki, 2006]

براساس آمار منتشر شده، از مجموع ۴۷۸ مورد حادثه به وقوع پیوسته در سال ۱۳۸۷ در راه آهن جمهوری اسلامی ایران، در ۱۹۰ مورد، یعنی در حدود ۴۵ درصد موقع، حادثه رخ داده، I.R.I Railway. Dept.]

[Protection & Safety of Rail Movements, 2009

تا امروز مطالعات متعددی به منظور پیش‌بینی و پیشگیری از وقوع پیشامد نامطلوب خروج از خط قطار انجام شده‌اند [Wagner, 2004, Iwnicki, 2006, Iwnicki et.al, 1999, Zhao et.al, 2006, Xiao et.al, 2011, Koo, et.al, 2012 تلاش‌های چندانی در راستای توسعه مدل و تحلیلی پرجزئیات از علل و پیامدهای ناشی از وقوع این پیشامد نامطلوب انجام نشده‌اند. فراوانی وقوع و وسعت پیامدهای احتمالی ناشی از وقوع چنین پیشامدی علت اصلی آغاز مطالعه حاضر، با هدف ارایه مدل و تحلیلی جامع از علل و سناریوهای بالقوه ناشی از وقوع پیشامد نامطلوب خروج از خط قطار مسافری است. برای این منظور، با توجه به ویژگیها و اهداف مطالعه، تکنیک تجزیه و تحلیل درخت خطا و درخت وقایع یکپارچه انتخاب شد. تکنیک تجزیه و تحلیل درخت خطا و درخت وقایع یکپارچه، ابزاری ساخت‌یافته، منطقی و قدرتمند است که با ترکیب کردن رویکردهایی استنتاجی و استقرایی این امکان را فراهم می‌آورد که علل و پیامدهای پیشامدی

مورد استفاده قرار گیرند. در این مقاله روش رتبه‌بندی اعداد فازی بر مبنای ارزش‌گذاری وزنی سطوح گوناگون  $a$  مورد استفاده قرار می‌گیرد [Detyniecki, et.al, 2006]. در روش نامبرده، ابتدا

هریک از اعداد فازی بر روی عددی حقیقی تصویر می‌شود، سپس از طریق مقایسه این مقادیر حقیقی رتبه عدد فازی تعیین می‌گردد. براساس این روش،تابع غیر فازی سازی برای عدد

فازی  $A$  به صورت زیر تعریف می‌گردد:

$$Val(A) = \frac{\sum_{i=1}^n \left( \frac{A_{\alpha_i}^L + A_{\alpha_i}^U}{2} \right) \cdot f(\alpha_i) \cdot \Delta \alpha_i}{\sum_{i=1}^n f(\alpha_i) \cdot \Delta \alpha_i} \quad (8)$$

که  $\alpha_i = \alpha_i - \alpha_{i-1}$ .  $\alpha_n = 1$

در رابطه بالا،  $f(\alpha_i) A_{\alpha_i}^L A_{\alpha_i}^U$  و  $n$  به ترتیب حد پایین برش  $i$ ، حد بالای برش  $i$ ، تابع ارزش‌گذاری و تعداد سطوح برش هستند. این پژوهش به منظور ارزش‌گذاری سطوح گوناگون از تابع ارزش‌گذاری pro-support استفاده می‌کند. تابع  $a$  ارزش‌گذاری مذکور برای برش سطح  $i$  به صورت زیر تعریف می‌شود [Detyniecki, 2001]

$$f(\alpha_i) = C + (S + C) \cdot \alpha_i^q \quad (9)$$

در رابطه بالا  $C$  و  $S$  به ترتیب وزن تخصیص داده شده به هسته مجموعه فازی  $A$  و وزن تخصیص داده شده به پشتیان مجموعه فازی  $A$  هستند. در این مقاله مقادیر پارامترهای ارزش‌گذاری به صورت زیر انتخاب شده‌اند:

$$C=1.0, S=0.0, q=2$$

### ۳. تجزیه و تحلیل درخت خطوط و درخت واقعی یکپارچه

تجزیه و تحلیل درخت خطوط و درخت واقعی یکپارچه ابزاری ساخت‌یافته، منطقی و قدرتمند است که تحلیل‌گر را در شناسایی و ارزیابی علل و سناریوهای بالقوه ناشی از وقوع پیشامدی معین یاری می‌رساند. این ابزار از طریق ترکیب کردن رویکردی استنتاجی با نام "درخت خطوط" با رویکردی استقرایی با نام "درخت واقعی" این امکان را فراهم می‌آورد که علل و پیامدهای بالقوه ناشی از وقوع پیشامدی به صورت همزمان شناسایی شده و مورد ارزیابی و تجزیه و تحلیل قرار گیرند. در رویکرد سنتی

که  $a \leq b \leq c$ . عدد فازی مثلى با استفاده از  $\tilde{A} = (a, b, c)$  نشان داده می‌شود.

## ۲-۲ محاسبات جبری بر روی اعداد فازی

در این مقاله برای انجام محاسبات بر روی اعداد فازی از روش برش  $a$  استفاده می‌شود. براساس اصل تجزیه اعداد فازی ارایه شده توسط زاده [Zadeh, 1971] مجموعه فازی  $A$  می‌تواند به صورت زیر به بینایت مجموعه غیرفازی تبدیل شود:

$$A = \bigcup_{\alpha \in [0,1]} \alpha A_\alpha \quad (2)$$

در این رابطه  $\alpha A_\alpha$  ضرب مقدار  $\alpha$  در درجه عضویت مجموعه غیرفازی  $A_\alpha$  است و  $A_\alpha$  ( $\mu_{A_\alpha} = 1$ ) اجتماع مجموعه‌های فازی  $A_\alpha$  به ازای مقادیر گوناگون  $\alpha$  است. هریک از این مجموعه‌های غیرفازی در سطح معینی از برش  $a$  و به صورت زیر تعریف می‌شوند:

$$A_\alpha = \{x | \mu_{\tilde{A}}(x) \geq \alpha\} \quad (3)$$

با استفاده از روش برش  $a$ ، به جای انجام محاسبات بر روی اعداد فازی، محاسبات در سطوح گوناگون برش  $a$  و بر روی مجموعه‌هایی غیرفازی انجام می‌گیرد. در این حالت عملیات محاسباتی در هریک از سطوح برش  $a$  به صورت زیر تعریف می‌شوند:

$$A_\alpha + B_\alpha = [A_\alpha^L + B_\alpha^L, A_\alpha^U + B_\alpha^U] \quad (4)$$

$$A_\alpha - B_\alpha = [A_\alpha^L - B_\alpha^U, A_\alpha^U - B_\alpha^L] \quad (5)$$

$$A_\alpha \cdot B_\alpha = [A_\alpha^L \cdot B_\alpha^L, A_\alpha^U \cdot B_\alpha^U], \quad A_\alpha^L \geq 0, B_\alpha^L \geq 0 \quad (6)$$

$A_\alpha \div B_\alpha = [A_\alpha^L \div B_\alpha^U, A_\alpha^U \div B_\alpha^L]$   $A_\alpha^L \geq 0, B_\alpha^L > 0$  (v)  
در روابط بالا،  $A_\alpha^L, A_\alpha^U$  و  $B_\alpha^L, B_\alpha^U$  به ترتیب بینگر حد پایین مجموعه فازی  $A$  در سطح برش  $a$ ، حد بالای مجموعه فازی  $A$  در سطح برش  $a$  و حد بالای مجموعه فازی  $B$  در سطح برش  $a$  هستند.

## ۳-۲ رتبه‌بندی اعداد فازی

تاکنون روش‌های متعددی ارایه شده‌اند که با توجه به شرایط مسئله و خواسته‌های تحلیل‌گر می‌توانند به منظور رتبه‌بندی اعداد فازی

توسط راه آهن جمهوری اسلامی ایران، گزارش‌های سالانه منتشر شده توسط اداره‌های ایمنی ریلی سایر راه آهن‌ها و اطلاعات کسب شده از سایر منابع استفاده می‌کند.

#### ۴-۱-۴ ایجاد نمودار درخت خطا

درخت خطا مدلی ترسیمی و منطقی است که ترکیب‌های گوناگون پیشامدهای پایانی‌یی را که به صورت بالقوه می‌توانند به وقوع پیشامدی معین منجر شوند، نشان می‌دهد. فرآیند ایجاد چنین نموداری، فرآیندی استنتاجی و تکرارشونده است که از پیشامدی معین در بالای درخت آغاز می‌شود، از طریق شاخه‌ها ادامه پیدا می‌کند، در هر دروازه سؤالها و منطق یکسانی بکار گرفته می‌شود و به ریشه درخت (پیشامدهای پایه‌ای) ختم می‌شود [Ericson, 2005]. فرآیند ایجاد درخت خطا تا جایی ادامه پیدا می‌کند که تمامی پیشامدها بر حسب خرایبهای ساخت‌افزاری، خرایبهای نرم‌افزاری، خطاهای انسانی و رویدادهای طبیعی پایه‌ای قابل شناسایی تعیین شده باشند. جدول ۱ فرآیند ایجاد درخت خطا پیشامد نامطلوب "خروج از خط قطار مسافری" را در ۲۹ گام خلاصه می‌کند. با استفاده از این اطلاعات، نمودار درخت خطا این پیشامد نامطلوب مشابه شکل ۱ ترسیم می‌شود.

#### ۴-۲-۱ ایجاد نمودار درخت وقایع

نمودار درخت وقایع، ابزاری ترسیمی و منطقی است که به منظور شناسایی و نمایش کلیه سناریوهای ممکن ناشی از وقوع پیشامدی مشخص بکار گرفته می‌شود. فرآیند ایجاد این نمودار فرآیندی استقراری است که از پیشامدی اولیه در ابتدای درخت وقایع آغاز می‌شود، با شناسایی پیشامدهای محوری ادامه پیدامی کند و به شناسایی وضعیتها پایانی (پیامدها) ختم می‌شود. شکل ۲ نمودار درخت وقایع پیشامد نامطلوب "خروج از خط قطار مسافری" را نشان می‌دهد. چنان‌که در این شکل مشاهده می‌شود، نمودار درخت وقایع خروج از خط قطار مسافری، نموداری متشکل از ۱۲ پیشامد محوری است که از طریق ترکیب کردن این پیشامدها، ۸۴ سناریو بالقوه شناسایی می‌شود. جدول ۲ پیشامدهای محوری این درخت وقایع را معرفی می‌کند.

تجزیه و تحلیل درخت خطا و درخت وقایع یکپارچه، احتمال وقوع پیشامدهای پایانی درختهای خطا و پیشامدهای میانی درخت وقایع به صورت مقداری نقطه‌ای و ثابت یا به صورت متغیری تصادفی و وابسته به زمان در نظر گرفته می‌شود. ولی در واقعیت، به دلیل ماهیت غیردقیق و غیرقطعی داده‌ها، امکان دستیابی به چنین تخمین دقیقی از نرخ وقوع یا پارامترهای تابع Cho, 2002 and Ferdousa, et.al, 2009 در چنین شرایطی استفاده از رویکرد فازی، تکنیک بهترین و شاید تنها راه حل ممکن است. در رویکرد فازی، تکنیک تجزیه و تحلیل درخت خطا و درخت وقایع یکپارچه به منظور مدل کردن سیستم در شرایط نبود اطلاعات دقیق و جامعی از سیستم مورد بررسی در محیط فازی توسعه داده می‌شود.

#### ۴. ارزیابی ریسک خروج از خط قطار

در این بخش از پژوهش علل ریشه‌ای و سناریوهای بالقوه ناشی از وقوع پیشامد نامطلوب خروج از خط قطار مسافری مورد ارزیابی قرار می‌گیرند. برای این منظور، ابتدا با استفاده از اطلاعات جمع‌آوری شده از منابع گوناگون، مدل‌های ترسیمی درخت خطا و درخت وقایع این پیشامد نامطلوب ایجاد می‌شوند، سپس مدل‌های ایجاد شده با هدف فراهم آوردن تحلیلی پر جزئیات از علل و پیامدهای ناشی از وقوع پیشامد خروج از خط قطار مسافری مورد ارزیابی قرار می‌گیرند.

#### ۴-۱ ایجاد مدل‌های ترسیمی

مرحله "ایجاد مدل‌های ترسیمی" یکی از مهم ترین مراحل تکنیک تجزیه و تحلیل درخت خطا و درخت وقایع یکپارچه است. در این مرحله، با استفاده از داده‌ها و اطلاعات جمع‌آوری شده از منابع گوناگون، مدل‌های ترسیمی علل و توالیهای ناشی از وقوع پیشامدی معین ایجاد می‌شوند. این پژوهش برای ایجاد نمودارهای درخت خطا و درخت وقایع پیشامد نامطلوب خروج از خط قطار عمده‌تاً از چهار دسته کلی اطلاعات شامل اطلاعات کسب شده از کارشناسان فعل در زمینه حمل و نقل ریلی، اطلاعات ارایه شده

## جدول ۱. فرآیند ایجاد درخت خطای خروج از خط قطار مسافری

نوع دروازه	ورودی‌ها	من	نام	من	گام	نام
	میانی	خروج از خط در هنگام عبور از روی سوزن	G02			
	میانی	خروج از خط به سبب برخورد یا عبور از روی شیء خارجی	G03			
یا	میانی	خروجی از خط به سبب مشکلات فنی خط	G04	خروج از خط قطار مسافری	G01	۱
	میانی	خروج از خط به سبب مشکلات فنی و سیله نقلیه	G05			
	میانی	خروج از خط به سبب بهره‌برداری نامناسب	G06			
یا	میانی	خروج از خط به سبب تنظیم اشتباه سوزن	G07	خروج از خط در هنگام عبور از روی سوزن	G02	۲
	ثانویه	خروج از خط به سبب تغییر سوزن در هنگام عبور قطار	E01			
و	ثانویه	تنظیم اشتباه سوزن	E08	خروج از خط به سبب تنظیم اشتباه سوزن	G07	۳
	میانی	عبور قطار از روی سوزن اشتباه تنظیم شده	G16			
یا	پایه‌ای	صدور جواز عبور اشتباه توسط سیستم سیگنالر	E23	عبور قطار از روی سوزن اشتباه تنظیم شده	G16	۴
	ثانویه	عبور بدون جواز از سیگنال	G20			
	میانی	عبور یا برخورد قطار با شیء روى خط	G08	خروج از خط به سبب برخورد یا عبور از روی	G3	۵
یا	ثانویه	برخورد قطار با بخش‌های معیوب زیرساختار	E02	شیء خارجی		
	میانی	برخورد قطار با شیء ای که روی خط نیست	G09			
	میانی	عبور یا برخورد قطار با شیء باقی‌مانده بر روی خط	G17			
یا	میانی	برخورد قطار با شیء ای که پس از ورود قطار بر روی خط قرار می‌گیرد	G18	عبور یا برخورد قطار با شیء روى خط	G08	۶
و	میانی	ورود قطار به قطعه خط با وجود باقی‌ماندن شیء روى خط	G26	عبور یا برخورد قطار با شیء باقی‌مانده بر روی خط	G17	۷
	میانی	باقی‌ماندن شیء ای خارجی بر روی خط	G27			
یا	میانی	ورود به قطعه خط به علت جواز ورود اشتباه	G29	ورود قطار به قطعه خط با وجود باقی‌ماندن	G26	۸
	پایه‌ای	ورود بدون جواز به قطعه خط	G20	شیء روى خط		
یا	پایه‌ای	صدور جواز عبور اشتباه توسط سیستم سیگنالر	E23	ورود به قطعه خط به علت جواز ورود اشتباه	G29	۹
	پایه‌ای	عدم تشخیص وجود شیء خارجی بر روی خط	E46			
	پایه‌ای	باقی‌ماندن شیء توسط پرسنل خط	E40			
یا	پایه‌ای	باقی‌ماندن شیء افتاده از سیله نقلیه بر روی خط	E41	باقی‌ماندن شیء ای خارجی بر روی خط	G27	۱۰
	پایه‌ای	باقی‌ماندن شیء با مشاًحوادث طبیعی	E42			
	پایه‌ای	باقی‌ماندن شیء با منشأ خطاهای و سوء عملکرد های انسانی	E43			
	پایه‌ای	افتادن بخشی از سیله نقلیه بر روی خط	E24			
یا	پایه‌ای	قرار گرفتن شیء ای با منشأ حوادث طبیعی پس از ورود به قطعه خط	E25	برخورد قطار با شیء ای که پس از ورود قطار بر روی خط قرار می‌گیرد	G18	۱۱
	پایه‌ای	قرار گرفتن شیء ای با منشأ خطاهای انسانی پس از ورود به قطعه خط	E26			
	ثانویه	برخورد قطار با بخش‌های متخرک زیرساختار	E09			
یا	میانی	برخورد بخشی خارج از گاباری با تجهیزات کاره خط	G19	برخورد قطار با شیء ای که روی خط نیست	G09	۱۲
	ثانویه	برخورد با تسهیلات موقعی کاره خط	E10			
	میانی	بی نبردن به وضعیت بخش قبل از حرکت قطار	G28	برخورد بخشی خارج از گاباری با تجهیزات	G19	۱۳
	ثانویه	بیرون آمدن بخش در حین حرکت قطار	E27	کناره خط		
و	پایه‌ای	خارج از گاباری بودن بخشی از قطار یا محموله آن	E44	بی نبردن به وضعیت بخش قبل از حرکت قطار	G28	۱۴
	پایه‌ای	صدور جواز حرکت با وجود خارج از گاباری بودن بخشی از قطار	E45			
	میانی	معیوب بودن بخشی از خط	G10	خروج از خط به سبب مشکلات فنی خط	G04	۱۵
و	میانی	ورود قطار به قطعه خط با وجود معیوب بودن بخشی از خط	G11			

## ادامه جدول ۱. فرآیند ایجاد درخت خطای خروج از خط قطار مسافری

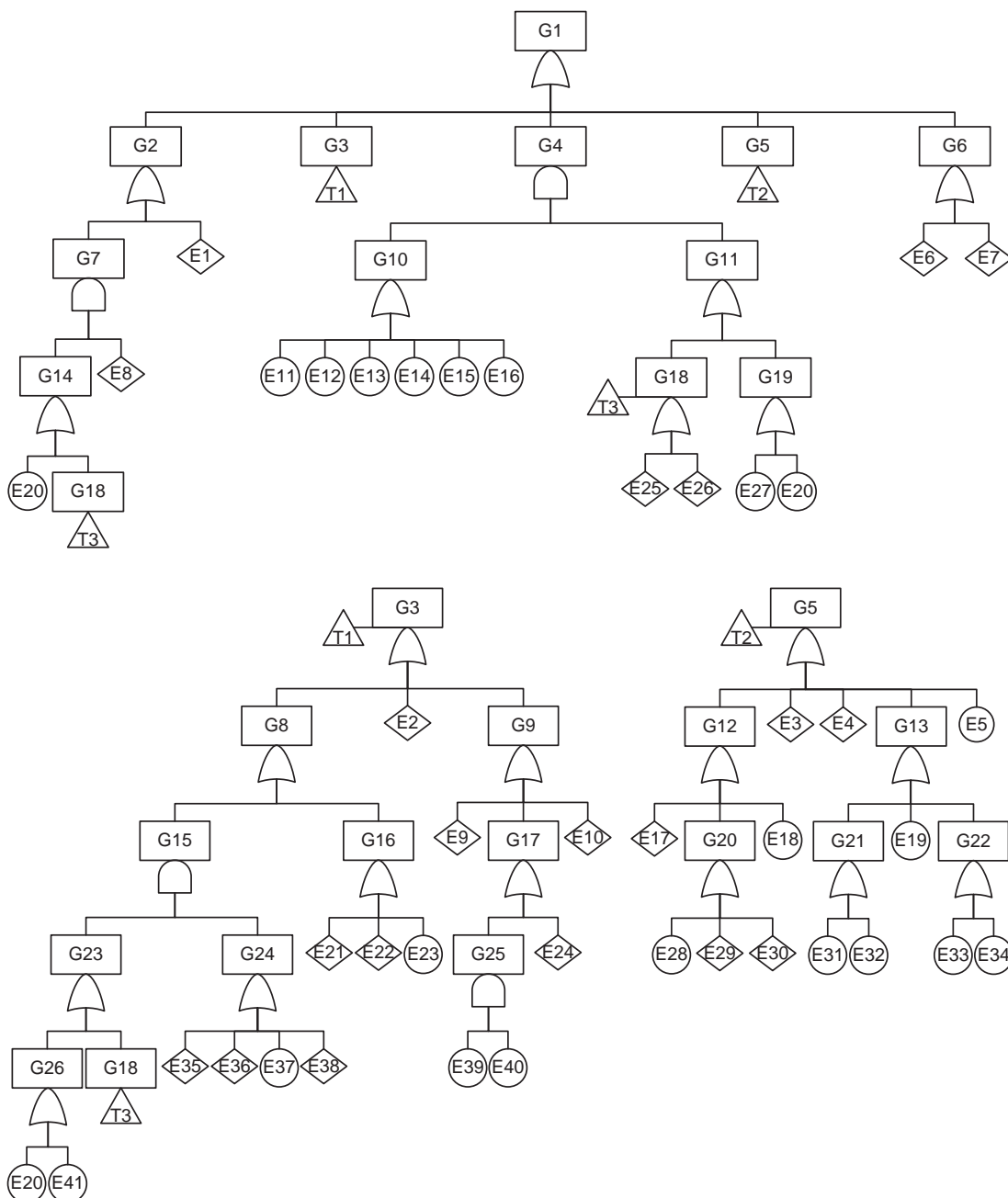
نوع دروازه		ورودی‌ها	گره	گام
	نوع	متن	نم	نام
يا	پایه‌ای	کمانش خط	E11	
	پایه‌ای	شکستگی ریل	E12	
	پایه‌ای	پیچش خط	E13	معیوب بودن خط
	پایه‌ای	افتادگی خط	E14	
	پایه‌ای	نامناسب بون دور	E15	
	پایه‌ای	عرض خط نامناسب	E16	
يا	میانی	ورود بدون جواز به قطعه خط	G20	G11 ۱۷
	میانی	ورود به علت جواز ورود ناصحیح	G21	
يا	ثانویه	عبور از سیگنال به علت خطای لکومتیوران در درک و تفسیر سیگنال	E28	G20 ۱۸
	ثانویه	عبور از سیگنال به علت خرابی سیستم ترمز	E29	
يا	پایه‌ای	عدم تشخیص معیوب بودن پخشی از قطعه خط	E30	G21 ۱۹
	پایه‌ای	صدور جواز عبور اشتباہ توسط سیستم سیگنال	E23	
يا	میانی	خروج از خط به سبب مشکلات فنی بوژی	G12	
	میانی	خروج از خط به سبب مشکلات فنی چرخ - محور	G13	
	ثانویه	خروج از خط به سبب افتادن اجزاء و قطعات وسیله نقلیه	E03	G05 ۲۰
	ثانویه	خروج از خط به سبب معیوب بودن تامپون و اتصالات	E04	
	پایه‌ای	خروج از خط به سبب شکستی یا معیوب بودن شاسی واگن	E05	
	پایه‌ای	معیوب بودن یاتاقان‌ها	E17	
يا	میانی	گردش ناپذیری بوژی	G22	G12 ۲۱
	پایه‌ای	معیوب بودن قاب بوژی	E18	
يا	پایه‌ای	معیوب بودن کاسه بوژی	E31	
	پایه‌ای	بیش از حد مجاز بودن وزن محموله	E32	G22 ۲۲
	پایه‌ای	معیوب بودن سیستم تعليق	E33	
	میانی	بریدن محور	G23	G13 ۲۳
يا	ثانویه	خارج از حدود مجاز بودن معیارهای سایشی چرخ	E19	
	میانی	جدا شدن بانداز چرخ	G24	
يا	پایه‌ای	بریدن محور به سبب ترک	E34	G23 ۲۴
	پایه‌ای	بریدن محور به سبب گرپیاز	E35	
يا	پایه‌ای	جدا شدن بانداز به علت لقی آن	E36	G24 ۲۵
	پایه‌ای	جدا شدن بانداز به علت شکستن آن	E37	
يا	پایه‌ای	خروج از خط به سبب ترمیگیری ناگهانی	E06	G06 ۲۶
	پایه‌ای	خروج از خط به سبب سرعت غیرمجاز	E07	

بسته به اهداف مطالعه به صورت کیفی، کمی با هر دو مورد ارزیابی

و تجزیه و تحلیل قرار می‌گیرند. فرآیند ارزیابی کمی تکنیک تجزیه و تحلیل درخت خط و درخت وقایع یکپارچه در محیط فازی را به صورت کلی می‌توان در گام‌های زیر خلاصه کرد:

## ۴-۲-۴ ارزیابی مدل‌های ترسیمی

مرحله "ارزیابی مدل" یکی از مهم‌ترین و اساسی‌ترین مراحل تکنیک تجزیه و تحلیل درخت خط و درخت وقایع یکپارچه است. در این مرحله مدل‌های ترسیمی ایجاد شده در مرحله "ایجاد مدل"

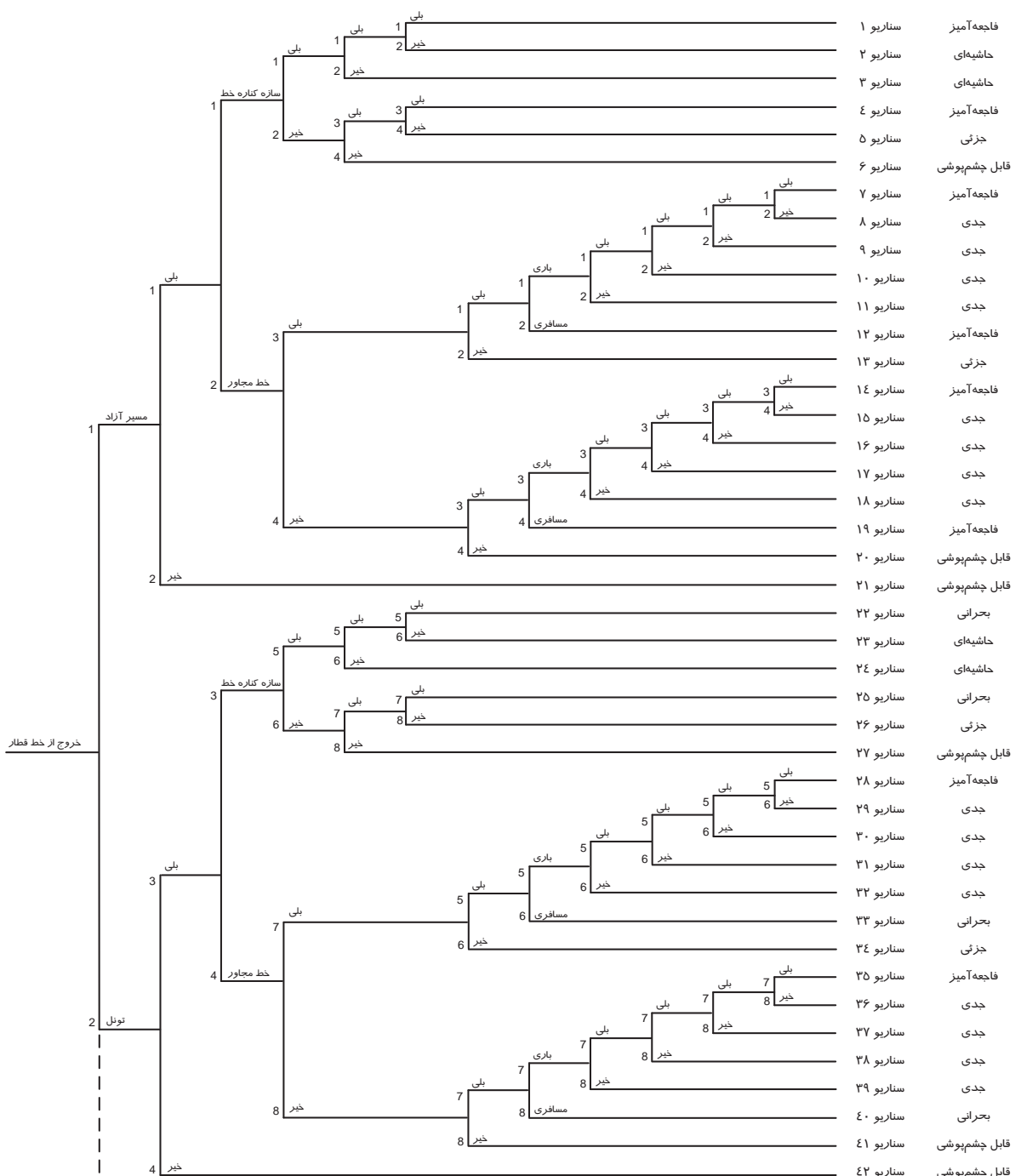


شکل ۱. درخت خطا خروج از خط قطار مسافری

جدول ۲. پیشامدهای محوری نمودار درخت وقایع خروج از خط قطار مسافری

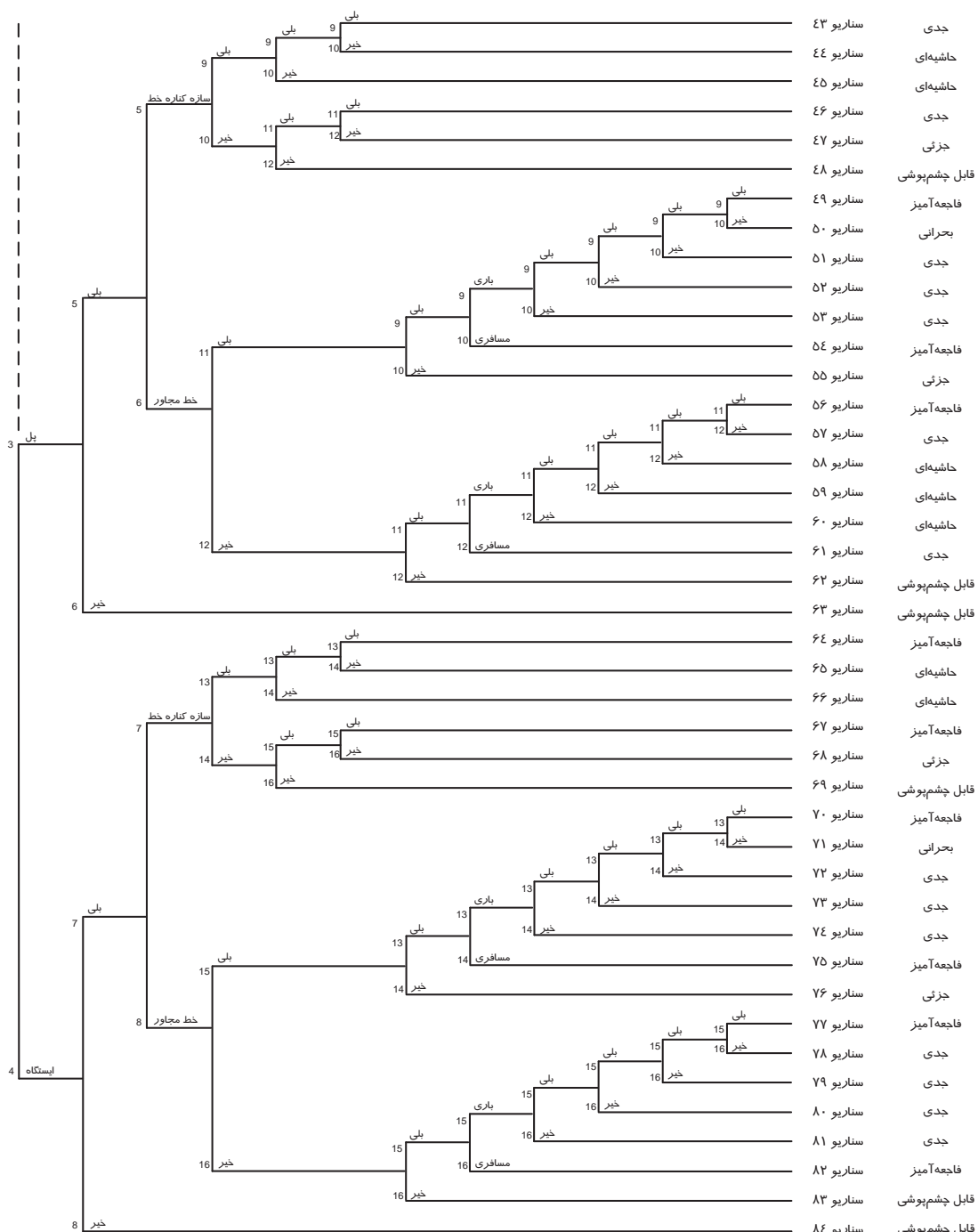
نام گره	متن گره	نام گره	متن گره
A	قطار در چه بخشی از خط خارج می شود؟	G	آیا برخورد ثانویه‌ای رخ می دهد؟
B	آیا قطار پس از خروج از خط از حدود جانبی مجاز تجاوز می کند؟	H	قطار دوم چه نوع قطاری است؟
C	قطار پس از خروج از خط به کدام سمت منحرف می شود؟	I	آیا قطار باری ماده مخاطره‌آمیزی را حمل می کند؟
D	آیا واگنی از قطار به پهلو می افتد؟	J	آیا آتش‌سوزی‌ای حادث می شود؟
E	آیا قطار با تجهیزات یا سازه کناره خط برخورد می کند؟	K	آیا حجم قابل توجهی از مواد مخاطره‌آمیز رها می شود؟

پیشامد اولیه	پیشامدهای محوری													سناریو	طبقه پیامد
	A	B	C	D	E	F	G	H	I	J	K	L			



شکل ۲. درخت وقایع خروج از خط قطار مسافری

پیشامد اولیه	پیشامد های محوری													سناریو	طبقه بیان
	A	B	C	D	E	F	G	H	I	J	K	L			



ادامه شکل ۲. درخت وقایع خروج از خط قطار مسافری

اهمیت فازی تعیین می‌شوند. در این پژوهش عدد فازی متناظر با احتمال پیشامدهای اولیه درخت وقایع با استفاده از اعداد فازی متناظر با احتمال پیشامدهای پایانی درخت خطای متناظر تعیین می‌شود و اعداد فازی متناظر با پیشامدهای محوری نیز یا با استفاده از داده‌ها و سوابق موجود، یا از طریق ارزیابی زبانی انجام شده توسط کارشناسان تعیین می‌گردد. جداول ۴ و ۵ به ترتیب فواصل برش  $\alpha$  عدد فازی متناظر با احتمال پیشامد اولیه و اعداد فازی متناظر با احتمال پیشامدهای محوری درخت وقایع را نشان می‌دهند.

**۴-۳-۲ کمی‌سازی سناریوهای درخت وقایع**  
 کمی‌سازی سناریوهای درخت وقایع به صورت کلی در دو گام انجام می‌گیرد: نخست احتمال هر سناریو با استفاده از احتمال پیشامدهای تشکیل دهنده آن سناریو تعیین می‌شود. سپس عدد ریسک متناظر با هر سناریو از طریق ترکیب کردن دو بعد احتمال و شدت پیامدهای سناریو تعیین می‌شود. در این پژوهش پیامدهای هر سناریو بر حسب پیامدهای جانی و در شش طبقه مطابق جدول ۶ طبقه‌بندی می‌شود. با استفاده از این تعاریف اعداد فازی متناظر با شدت پیامدهای سناریوهای درخت وقایع مطابق جدول ۷ تعیین می‌شوند. لازم به یادآوری است که در این مطالعه جهت تعیین تلفات جانی معادل هر طبقه از تعریف پیشنهاد شده توسط انجمن ایمنی و استانداردهای ریلی بریتانیا [Rail Safety and

- کمی‌سازی پیشامدهای پایانی درختهای خطای

- کمی‌سازی پیشامد اولیه و پیشامدهای محوری درخت وقایع

- کمی‌سازی سناریوهای درخت وقایع و تعیین عدد ریسک کل

- تفسیر اهمیت و عدم قطعیت

#### ۴-۲-۱ کمی‌سازی پیشامدهای پایانی درخت خطای

در نخستین گام از فرآیند ارزیابی کمی، اعداد فازی متناظر با احتمال پیشامدهای پایانی درختهای خطای تعیین می‌شوند. این اعداد در ادامه فرآیند ارزیابی کمی با هدف محاسبه اعداد فازی متناظر با احتمال پیشامد اولیه، ریسک سناریوهای درخت وقایع، ریسک کل و همچنین معیارهای اهمیت فازی مورد استفاده قرار خواهد گرفت. جدول ۳ اعداد فازی متناظر با احتمال پیشامدهای پایانی درخت خطای را ارایه می‌کند. این اعداد یا با استفاده از داده‌ها و سوابق موجود یا با استفاده از ارزیابیهای زبانی انجام شده توسط کارشناسان تعیین می‌شوند.

#### ۴-۲-۲ کمی‌سازی پیشامد اولیه و پیشامدهای محوری درخت وقایع

در دومین گام از فرآیند ارزیابی کمی، اعداد فازی متناظر با احتمال پیشامد اولیه و پیشامدهای محوری درخت وقایع با هدف محاسبه احتمال سناریوها، ریسک سناریوهای ریسک کل و معیارهای

جدول ۳. اعداد فازی متناظر با احتمال پیشامدهای پایانی درخت خطای خروج از خط قطار مسافری

پارامترها				پیشامد				پارامترها				پیشامد			
حد بالا	حد پایین	مقدار میانی	پیشامد	حد بالا	حد پایین	مقدار میانی	پیشامد	حد بالا	حد پایین	مقدار میانی	پیشامد	حد بالا	حد پایین	مقدار میانی	پیشامد
2.3E-08	7.6E-09	2.5E-09	E29	4.0E-07	1.3E-07	4.4E-08	E15	3.0E-07	6.1E-08	1.2E-08	E01	1.8E-08	6.1E-09	2.0E-09	E02
1.2E-07	3.0E-08	7.6E-09	E30	4.0E-07	1.3E-07	4.4E-08	E16	9.1E-09	3.0E-09	1.0E-09	E03	9.1E-09	3.0E-09	1.0E-09	E04
1.8E-08	6.1E-09	2.0E-09	E31	1.2E-08	6.1E-09	3.0E-09	E17	6.1E-08	3.0E-08	1.5E-08	E05	6.1E-08	3.0E-08	1.5E-08	E06
2.7E-08	9.1E-09	3.0E-09	E32	1.8E-08	6.1E-09	2.0E-09	E18	4.6E-08	1.5E-08	5.1E-09	E07	4.6E-08	1.5E-08	5.1E-09	E08
4.6E-08	1.5E-08	5.1E-09	E33	3.0E-08	6.1E-09	1.2E-09	E19	2.7E-07	9.1E-08	3.0E-08	E09	2.7E-07	9.1E-08	3.0E-08	E10
1.8E-08	6.1E-09	2.0E-09	E34	2.8E-03	9.3E-04	3.1E-04	E20	1.7E-04	8.3E-05	4.2E-05	E011	1.7E-04	8.3E-05	4.2E-05	E12
6.7E-05	1.3E-05	2.7E-06	E35	1.5E-08	5.1E-09	1.7E-09	E21	9.1E-09	3.0E-09	1.0E-09	E013	9.1E-09	3.0E-09	1.0E-09	E14
1.7E-05	3.3E-06	6.7E-07	E36	2.0E-08	5.1E-09	1.3E-09	E22	8.0E-07	2.7E-07	8.9E-08	E11	8.0E-07	2.7E-07	8.9E-08	E12
3.3E-05	6.7E-06	1.3E-06	E37	2.0E-08	5.1E-09	1.3E-09	E23	4.0E-07	1.3E-07	4.4E-08	E13	4.0E-07	1.3E-07	4.4E-08	E14
1.7E-05	3.3E-06	6.7E-07	E38	7.6E-09	1.5E-09	3.0E-10	E24	3.0E-07	6.1E-08	1.2E-08	E01	3.0E-07	6.1E-08	1.2E-08	E02
1.0E-04	5.0E-05	2.5E-05	E39	2.5E-03	8.9E-04	1.9E-04	E25	1.8E-08	6.1E-09	2.0E-09	E03	1.8E-08	6.1E-09	2.0E-09	E04
4.2E-04	6.1E-05	2.3E-07	E40	2.6E-05	8.7E-06	2.9E-06	E26	9.1E-09	3.0E-09	1.0E-09	E011	9.1E-09	3.0E-09	1.0E-09	E12
7.0E-03	2.7E-03	7.9E-04	E41	1.6E-01	5.5E-02	2.7E-02	E27	8.0E-07	2.7E-07	8.9E-08	E13	8.0E-07	2.7E-07	8.9E-08	E14
				2.3E-08	7.6E-09	2.5E-09	E28	4.0E-07	1.3E-07	4.4E-08	E01				

جدول ۴. حدود پایین و بالای فواصل برش  $\alpha$  عدد فازی متناظر با احتمال پیشامد اولیه درخت وقایع

	$\alpha$	حد بالا	حد پایین	$\alpha$	حد بالا	حد پایین	$\alpha$	حد بالا	حد پایین	$\alpha$	
1.02E-06	6.79E-07	0.9	2.04E-06	4.73E-07	0.6	3.35E-06	2.98E-07	0.3	4.97E-06	1.5E-07	0.0
7.55E-07	7.55E-07	1.0	1.67E-06	5.38E-07	0.7	2.88E-06	3.53E-07	0.4	4.40E-06	2.00E-07	0.1
			1.33E-06	6.07E-07	0.8	2.44E-06	4.11E-07	0.5	3.86E-06	2.47E-07	0.2

جدول ۵. اعداد فازی متناظر با احتمال پیشامد های محوری درخت وقایع خروج از خط قطار مسافری

پارامترها				پیشامد				پارامترها				پیشامد				پارامترها				پیشامد			
حد بالا	حد پایین	مقدار میانی	محوری	حد بالا	حد پایین	مقدار میانی	محوری	حد بالا	حد پایین	مقدار میانی	محوری	حد بالا	حد پایین	مقدار میانی	محوری	حد بالا	حد پایین	مقدار میانی	محوری				
1.9E-01	9.5E-02	4.7E-02	I11	9.0E-01	9.0E-01	9.0E-01	F4	3.3E-01	2.8E-01	2.4E-01	A1												
9.5E-01	9.1E-01	8.1E-01	I12	4.3E-02	4.1E-02	3.9E-02	F5	5.4E-03	4.6E-03	4.0E-03	A2												
8.9E-02	4.4E-02	2.1E-02	I13	9.6E-01	9.6E-01	9.6E-01	F6	3.5E-03	3.0E-03	2.6E-03	A3												
9.8E-01	9.6E-01	9.1E-01	I14	3.2E-02	3.0E-02	2.9E-02	F7	7.5E-01	7.1E-01	6.6E-01	A4												
8.9E-02	4.4E-02	2.1E-02	I15	9.7E-01	9.7E-01	9.7E-01	F8	6.5E-01	5.9E-01	5.4E-01	B1												
9.8E-01	9.6E-01	9.1E-01	I16	2.1E-02	2.0E-02	1.9E-02	F9	4.6E-01	4.1E-01	3.5E-01	B2												
5.1E-02	2.5E-02	1.2E-02	J1	9.8E-01	9.8E-01	9.8E-01	F10	6.5E-01	5.9E-01	5.4E-01	B3												
9.9E-01	9.8E-01	9.5E-01	J2	8.3E-02	7.5E-02	6.8E-02	F11	4.6E-01	4.1E-01	3.5E-01	B4												
5.1E-02	2.5E-02	1.2E-02	J3	9.3E-01	9.3E-01	9.2E-01	F12	3.2E-01	2.9E-01	2.6E-01	B5												
9.9E-01	9.8E-01	9.5E-01	J4	5.8E-02	5.0E-02	4.3E-02	F13	7.4E-01	7.1E-01	6.8E-01	B6												
5.1E-02	2.5E-02	1.2E-02	J5	9.6E-01	9.5E-01	9.4E-01	F14	9.4E-02	8.5E-02	7.7E-02	B7												
9.9E-01	9.8E-01	9.5E-01	J6	5.8E-02	5.0E-02	4.3E-02	F15	9.2E-01	9.2E-01	9.1E-01	B8												
5.1E-02	2.5E-02	1.2E-02	J7	9.6E-01	9.5E-01	9.4E-01	F16	9.3E-01	9.2E-01	9.0E-01	C1												
9.9E-01	9.8E-01	9.5E-01	J8	1.5E-01	1.0E-01	6.7E-02	G1	1.0E-01	8.5E-02	6.6E-02	C2												
5.1E-02	2.5E-02	1.2E-02	J9	9.3E-01	9.0E-01	8.5E-01	G2	9.6E-01	9.4E-01	9.2E-01	C3												
9.9E-01	9.8E-01	9.5E-01	J10	1.5E-01	1.0E-01	6.7E-02	G3	7.6E-02	5.8E-02	3.9E-02	C4												
5.1E-02	2.5E-02	1.2E-02	J11	9.3E-01	9.0E-01	8.5E-01	G4	9.7E-01	9.5E-01	9.3E-01	C5												
9.9E-01	9.8E-01	9.5E-01	J12	1.5E-01	1.0E-01	6.7E-02	G5	7.2E-02	5.3E-02	3.4E-02	C6												
2.6E-02	1.3E-02	6.1E-03	J13	9.3E-01	9.0E-01	8.5E-01	G6	5.5E-01	5.1E-01	4.8E-01	C7												
9.9E-01	9.9E-01	9.7E-01	J14	1.5E-01	1.0E-01	6.7E-02	G7	5.2E-01	4.9E-01	4.5E-01	C8												
2.6E-02	1.3E-02	6.1E-03	J15	9.3E-01	9.0E-01	8.5E-01	G8	5.2E-02	5.0E-02	4.8E-02	D1												
9.9E-01	9.9E-01	9.7E-01	J16	1.5E-01	1.0E-01	6.7E-02	G9	9.5E-01	9.5E-01	9.5E-01	D2												
8.4E-02	4.2E-02	2.1E-02	K1	9.3E-01	9.0E-01	8.5E-01	G10	5.2E-02	5.0E-02	4.8E-02	D3												
9.8E-01	9.6E-01	9.2E-01	K2	1.5E-01	1.0E-01	6.7E-02	G11	9.5E-01	9.5E-01	9.5E-01	D4												
8.4E-02	4.2E-02	2.1E-02	K3	9.3E-01	9.0E-01	8.5E-01	G12	5.2E-02	5.0E-02	4.8E-02	D5												
9.8E-01	9.6E-01	9.2E-01	K4	7.5E-02	5.0E-02	3.3E-02	G13	9.5E-01	9.5E-01	9.5E-01	D6												
8.4E-02	4.2E-02	2.1E-02	K5	9.7E-01	9.5E-01	9.3E-01	G14	5.2E-02	5.0E-02	4.8E-02	D7												
9.8E-01	9.6E-01	9.2E-01	K6	7.5E-02	5.0E-02	3.3E-02	G15	9.5E-01	9.5E-01	9.5E-01	D8												
8.4E-02	4.2E-02	2.1E-02	K7	9.7E-01	9.5E-01	9.3E-01	G16	5.2E-02	5.0E-02	4.8E-02	D9												
9.8E-01	9.6E-01	9.2E-01	K8	5.5E-01	5.3E-01	5.0E-01	H1	9.5E-01	9.5E-01	9.5E-01	D10												
8.4E-02	4.2E-02	2.1E-02	K9	5.0E-01	4.7E-01	4.5E-01	H2	5.2E-02	5.0E-02	4.8E-02	D11												
9.8E-01	9.6E-01	9.2E-01	K10	5.5E-01	5.3E-01	5.0E-01	H3	9.5E-01	9.5E-01	9.5E-01	D12												
8.4E-02	4.2E-02	2.1E-02	K11	5.0E-01	4.7E-01	4.5E-01	H4	5.2E-02	5.0E-02	4.8E-02	D13												
9.8E-01	9.6E-01	9.2E-01	K12	5.5E-01	5.3E-01	5.0E-01	H5	9.5E-01	9.5E-01	9.5E-01	D14												
3.0E-03	1.5E-03	7.5E-04	K13	5.0E-01	4.7E-01	4.5E-01	H6	5.2E-02	5.0E-02	4.8E-02	D15												
1.0E+00	1.0E+00	1.0E+00	K14	5.5E-01	5.3E-01	5.0E-01	H7	9.5E-01	9.5E-01	9.5E-01	D16												
3.0E-03	1.5E-03	7.5E-04	K15	5.0E-01	4.7E-01	4.5E-01	H8	2.1E-01	2.0E-01	1.9E-01	E1												
1.0E+00	1.0E+00	1.0E+00	K16	5.5E-01	5.3E-01	5.0E-01	H9	8.1E-01	8.0E-01	7.9E-01	E2												
8.8E-01	4.4E-01	2.2E-01	L1	5.0E-01	4.7E-01	4.5E-01	H10	1.6E-01	1.5E-01	1.4E-01	E3												
7.8E-01	5.6E-01	1.2E-01	L2	5.5E-01	5.3E-01	5.0E-01	H11	8.6E-01	8.5E-01	8.4E-01	E4												
8.8E-01	4.4E-01	2.2E-01	L3	5.0E-01	4.7E-01	4.5E-01	H12	7.2E-01	7.0E-01	6.8E-01	E5												
7.8E-01	5.6E-01	1.2E-01	L4	5.8E-01	5.3E-01	4.8E-01	H13	3.2E-01	3.0E-01	2.8E-01	E6												
8.8E-01	4.4E-01	2.2E-01	L5	5.2E-01	4.7E-01	4.2E-01	H14	4.7E-01	4.5E-01	4.3E-01	E7												
7.8E-01	5.6E-01	1.2E-01	L6	5.8E-01	5.3E-01	4.8E-01	H15	5.7E-01	5.5E-01	5.3E-01	E8												
8.8E-01	4.4E-01	2.2E-01	L7	5.2E-01	4.7E-01	4.2E-01	H16	7.2E-01	7.0E-01	6.8E-01	E9												
7.8E-01	5.6E-01	1.2E-01	L8	1.9E-01	9.5E-02	4.7E-02	I1	3.2E-01	3.0E-01	2.8E-01	E10												
8.8E-01	4.4E-01	2.2E-01	L9	9.5E-01	9.1E-01	8.1E-01	I2	4.7E-01	4.5E-01	4.3E-01	E11												
7.8E-01	5.6E-01	1.2E-01	L10	1.9E-01	9.5E-02	4.7E-02	I3	5.7E-01	5.5E-01	5.3E-01	E12												
8.8E-01	4.4E-01	2.2E-01	L11	9.5E-01	9.1E-01	8.1E-01	I4	4.7E-01	4.5E-01	4.3E-01	E13												
7.8E-01	5.6E-01	1.2E-01	L12	1.9E-01	9.5E-02	4.7E-02	I5	5.7E-01	5.5E-01	5.3E-01	E14												
8.8E-01	4.4E-01	2.2E-01	L13	9.5E-01	9.1E-01	8.1E-01	I6	2.6E-01	2.5E-01	2.4E-01	E15												
7.8E-01	5.6E-01	1.2E-01	L14	1.9E-01	9.5E-02	4.7E-02	I7	7.6E-01	7.5E-01	7.4E-01	E16												
8.8E-01	4.4E-01	2.2E-01	L15	9.5E-01	9.1E-01	8.1E-01	I8	1.6E-01	1.5E-01	1.4E-01	F1												
7.8E-01	5.6E-01	1.2E-01	L16	1.9E-01	9.5E-02	4.7E-02	I9	8.6E-01	8.5E-01	8.4E-01	F2												
				9.5E-01	9.1E-01	8.1E-01	I10	1.1E-01	1.0E-01	9.5E-02	F3												

$\alpha$  این عدد فازی را ارایه می‌کند. با استفاده از این فواصل، تابع عضویت عدد فازی متناظر با ریسک خروج از خط قطار مسافری بر حسب تلفات جانی معادل در هر قطار کیلومتر سفر به صورت شکل ۳ ترسیم می‌شود.

Standards Board, UK, 2008] استفاده می‌شود.

با کمی‌سازی سناریوهای درخت واقعی، عدد فازی متناظر با ریسک خروج از خط قطار مسافری بر حسب تلفات جانی معادل در هر قطار کیلومتر سفر تعیین می‌شود. جدول ۸ فواصل برش

جدول ۶. تعریف طبقه‌های گوناگون پیامد در نمودار درخت واقعی خروج از خط قطار مسافری

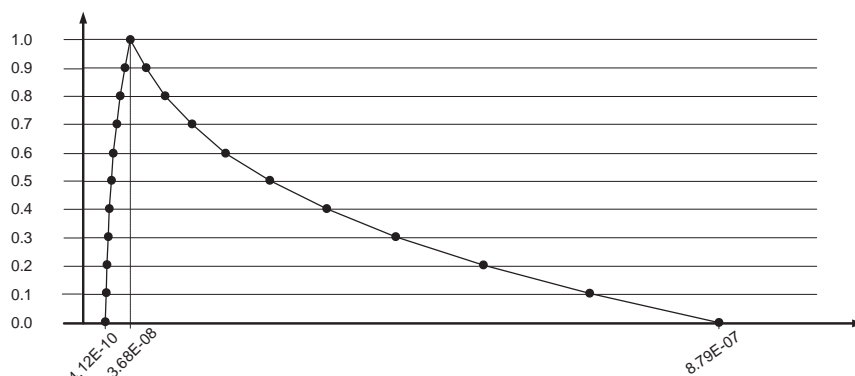
ردیف	شدت	مرگ و میر	صدمات جدی	صدمات جزئی قابل گزارش	تعداد
۱	فاجعه‌آمیز	بیش از ۵	بیش از ۱۵	بیش از ۵۰	بیش از ۲۵۰
۲	بحارانی	۵ تا ۲	۱۵ تا ۶	۵۰ تا ۱۶	از ۵۱ تا ۲۵۰
۳	جدی	۱ یا کمتر	۵ تا ۲	۱۵ تا ۶	از ۱۶ تا ۵۰
۴	حاسیه‌ای	۰	۱ یا کمتر	۵ تا ۲	از ۶ تا ۱۶
۵	جزئی	۰	۰	۱ یا کمتر	از ۲ تا ۵
۶	قابل چشمپوشی	۰	۰	۰	۱ یا کمتر

جدول ۷. اعداد فازی متناظر با طبقه‌های گوناگون پیامد در نمودار درخت واقعی خروج از خط قطار مسافری

حد بالا	طبقه			پارامترها			حد بالا	طبقه		
	حد پایین	مقدار میانی	حد بالا	حد پایین	مقدار میانی	حد بالا		حد پایین	مقدار میانی	حد بالا
1.40E-01	7.80E-02	1.60E-02	۰.۰۱۴	۰.۰۰۷۸	۰.۰۱۶	۰.۰۰۱۶	7.19E+02	3.63E+02	7.00E+00	۰.۰۷۱۹
1.00E-02	6.00E-03	2.00E-03	۰.۰۱	۰.۰۰۶	۰.۰۰۲	۰.۰۰۲	7.00E+00	4.87E+00	2.73E+00	۰.۰۷
1.00E-03	5.00E-04	0.00E+00	۰.۰۰۱	۰.۰۰۵	۰.۰۰۰	۰.۰۰۰	1.63E+00	9.36E-01	2.46E-01	۰.۰۱۶۳

جدول ۸: حدود پایین و بالای فواصل برش  $\alpha$  عدد فازی متناظر با احتمال پیشامد اولیه درخت واقعی

حد بالا	حد پایین	$\alpha$									
1.02E-06	6.79E-07	0.9	2.04E-06	4.73E-07	0.6	3.35E-06	2.98E-07	0.3	4.97E-06	1.5E-07	0.0
7.55E-07	7.55E-07	1.0	1.67E-06	5.38E-07	0.7	2.88E-06	3.53E-07	0.4	4.40E-06	2.00E-07	0.1
			1.33E-06	6.07E-07	0.8	2.44E-06	4.11E-07	0.5	3.86E-06	2.47E-07	0.2



شکل ۳. عدد فازی متناظر ریسک خروج از خط قطار مسافری

اعداد فازی متناظر با احتمال آن‌ها رتبه‌بندی می‌شوند. جدول ۱۰ رتبه‌بندی به دست آمده با استفاده از روش رتبه‌بندی اعداد فازی ارزش‌گذاری وزنی سطوح گوناگون  $\alpha$  را ارایه می‌کند. چنان که در این جدول مشاهده می‌شود، از مجموع ۶۷ برش حداقل شناسایی شده در این پژوهش، برشهای حداقل شماره ۲۰ مشکل از پیشامدهای "شکستگی ریل" و "تشخیص ندادن عیوب خسی از قطعه خط"، شماره ۷ مشکل از پیشامدهای "خروج از خط قطار به سبب سرعت بیش از حد قطار" و شماره ۸ مشکل از پیشامدهای "تنظیم اشتباه سوزن" و "صدور جواز عبور اشتباه توسط سیستم علامت‌دهی" بیشترین اندازه غیرفازی‌سازی شده را داراست و به عنوان بحرانی‌ترین برش حداقل شناسایی می‌شود.

**۴-۴-۳-۱ تفسیر اهمیت ریسک پیشامدهای پایانی درخت خط**  
در این پژوهش برای رتبه‌بندی اهمیت ریسک پیشامدهای پایانی درخت خط از شاخص اهمیت فازی ارایه شده توسط لیانگ و سایرین استفاده می‌شود. براین اساس، اهمیت فازی پیشامد پایانی درخت خط به صورت زیر تعیین می‌شود [Liang, et.al., 1993]:

$$FII_{BEi} = D \left( R_{IE}, R_{IE}(P_{Ei} = \tilde{0}) \right) \quad (10)$$

[1993]

**۴-۲-۴ تفسیر اهمیت و عدم قطعیت**

**۴-۴-۲-۱ رتبه‌بندی اهمیت ریسک سناریوهای درخت واقعی**  
رتبه‌بندی اهمیت سناریوهای درخت واقعی، چیزی نیست جز رتبه‌بندی اعداد فازی متناظر با ریسک این سناریوها. در این پژوهش جهت رتبه‌بندی اعداد فازی نامبرده از روش رتبه‌بندی اعداد فازی برمبانی ارزش‌گذاری وزنی سطوح گوناگون  $\alpha$  استفاده می‌شود. جدول ۹ رتبه‌بندی به دست آمده با استفاده از این روش را نشان می‌دهد. چنان که در این جدول مشاهده می‌شود، از مجموع ۸۴ سناریو شناسایی شده در این پژوهش سناریو شماره ۱۲ مشکل از پیشامدهای "خروج از خط قطار مسافری" موقعیت خروج از خط مسیر آزاد باشد  $\leftrightarrow$  قطار از حدود جانبی مجاز خارج شود  $\leftrightarrow$  قطار به سمت خط مجاور منحرف شود  $\leftrightarrow$  حداقل یکی از واگن‌های قطار به پهلو بیافتد  $\leftrightarrow$  برخورد ثانویه‌ای رخ دهد  $\leftrightarrow$  قطار دوم قطاری مسافری باشد" بیشترین اندازه غیرفازی شده را دارا است و به عنوان بحرانی‌ترین سناریو شناسایی می‌شود.

**۴-۴-۲-۲ رتبه‌بندی اهمیت ریسک برش‌های حداقل درخت خط**  
اهمیت ریسک برشهای حداقل درخت خط از طریق رتبه‌بندی

**جدول ۹. رتبه‌بندی اهمیت ریسک سناریوهای درخت واقعی خروج از خط قطار مسافری**

سناریو	رتبه	مقدار									
SC01	14	2.8E-10	SC22	8	1.8E-09	SC2	1	2.0E-08	SC12	17	2.1E-10
SC02	19	1.3E-10	SC23	37	8.6E-12	SC24	11	6.1E-10	SC03	28	6.5E-11
SC03	6	2.6E-09	SC25	2	1.6E-08	SC26	18	1.5E-10	SC05	21	8.3E-11
SC04	22	8.0E-11	SC27	39	7.9E-12	SC28	42	3.9E-12	SC07	7	2.2E-09
SC05	77	9.5E-15	SC29	52	8.8E-13	SC28	69	4.6E-14	SC07	29	5.1E-11
SC06	60	2.3E-13	SC30	82	5.1E-16	SC29	78	2.6E-15	SC08	33	1.4E-11
SC07	40	6.6E-12	SC31	65	7.6E-14	SC30	65	5.6E-13	SC11	70	3.0E-14
SC08	31	4.9E-11	SC32	55	5.6E-13	SC31	66	2.2E-10	SC33	15	2.3E-10
SC09	20	9.4E-11	SC34	66	5.7E-14	SC34	16	2.2E-10	SC33	36	1.0E-11
SC10	26	7.3E-11	SC35	53	8.6E-13	SC35	27	6.7E-11	SC36	54	5.7E-13
SC11	61	1.8E-13	SC36	76	9.6E-15	SC36	34	1.5E-14	SC37	79	1.4E-15
SC12	57	3.6E-13	SC37	68	4.9E-14	SC37	48	1.4E-12	SC38	64	8.2E-14
SC13	35	1.0E-11	SC38	48	1.4E-12	SC38	34	1.0E-11	SC39	41	4.7E-12
SC14	24	7.7E-11	SC39	34	1.0E-11	SC39	5	4.2E-09	SC40	23	7.9E-11
SC15	10	9.0E-10	SC40	5	4.2E-09	SC40	63	9.5E-14	SC41	4	4.3E-09
SC16	38	8.3E-12	SC41	63	9.5E-14	SC41	51	1.2E-12	SC42	32	1.7E-11
SC17	25	7.5E-11	SC42	51	1.2E-12	SC42	49	1.3E-12	SC84	12	4.0E-10

از مجموع ۴۱ پیشامد پایانی، پیشامدهای پایانی "تنظیم اشتباہ سوزن"، "تشخیص ندادن عیب بخشی از قطعه خط" و "صدور جواز عبور اشتباہ توسط سیستم سیگنالر" به ترتیب با مقادیر  $3/95 \times 10^{-7}$ ،  $5/84 \times 10^{-7}$  و  $4/53 \times 10^{-7}$  اهمیت غیرفازی‌سازی شده  $10^{-7}$  دارند. بیشترین سهم را در ریسک کل دارند و به عنوان بحرانی‌ترین پیشامدهای پایانی برای ریسک کل شناسایی می‌شوند.

۴-۲-۴-۴ تفسیر اهمیت عدم قطعیت پیشامدهای پایانی درخت خطا در این پژوهش برای رتبه‌بندی اهمیت عدم قطعیت پیشامدهای پایانی درخت خطا از معیار اهمیت عدم قطعیت فازی استفاده شد. معیار اهمیت عدم قطعیت فازی پیشامدهای پایانی بی‌را که بیشترین سهم را در عدم قطعیت خروجی فازی دارند، شناسایی می‌کند. رتبه‌بندی به دست آمده با استفاده از این معیار اهمیت می‌تواند در طراحی استراتژی‌های جمع‌آوری اطلاعات بکارگرفته شود. معیار اهمیت عدم قطعیت فازی برای پیشامد پایانی آماده شده است. می‌توان این روش را در عدم قطعیت خروجی فازی دارند، شناسایی می‌کند. Ramesh, et. al., [۱۹۹۶]

$$FUI_{BEi} = D(R_{IE}, R_{IE_i}) \quad (13)$$

در این رابطه  $R_{IE}(P_{E_i} = \tilde{0})$  و  $R_{IE}$  به ترتیب عدد فازی متناظر با ریسک کل و عدد فازی متناظر با ریسک کل با صفر فرض کردن  $D(R_{IE}, R_{IE}(P_{E_i} = \tilde{0}))$  احتمال پیشامد پایانی آم است و اختلاف بین اعداد فازی  $R_{IE}(P_{E_i} = \tilde{0})$  و  $R_{IE}$  را ارزیابی می‌کند.

با استفاده از مفهوم فاصله اقلیدسی دو مجموعه فازی، اندازه شاخص اهمیت فازی برای پیشامد پایانی آم درخت خطا به صورت زیر محاسبه می‌شود:

$$FII_{BEi} = ED[R_{IE}, R_{IE}(P_{BE_i} = \tilde{0})] \quad (11)$$

در رابطه بالا  $ED[R_{IE}, R_{IE}(P_{BE_i} = \tilde{0})]$  فاصله اقلیدسی دو مجموعه فازی  $R_{IE}(P_{BE_i} = \tilde{0})$  و  $R_{IE}$  را نشان می‌دهد. با استفاده از مفهوم برش  $a$ ، فاصله اقلیدسی دو مجموعه فازی  $A$  و  $B$  به صورت زیر تعریف می‌شود:

$$ED[A, B] = \sum_{i=1}^n \left( (A_{\alpha_i}^U - B_{\alpha_i}^U)^2 + (A_{\alpha_i}^L - B_{\alpha_i}^L)^2 \right)^{0.5} \cdot \Delta\alpha_i \quad (12)$$

که:  $\Delta\alpha_i = \alpha_i - \alpha_{i-1}$

$\alpha_n = 1$

جدول ۱۱ رتبه‌بندی به دست آمده با استفاده از شاخص اهمیت فازی را ارایه می‌کند. چنان‌که در این جدول مشاهده می‌شود،

جدول ۱۰. رتبه‌بندی اهمیت ریسک برش‌های حداقل درخت خطا خروج از خط قطار مسافری

رتبه	رتبه‌بندی اهمیت	اعضاء مجموعه	مجموعه	رتبه‌بندی اهمیت			اعضاء مجموعه	مجموعه	رتبه	رتبه‌بندی اهمیت	اعضاء مجموعه	مجموعه
				رتبه	رتبه	اعضاء مجموعه						
45	2.0E-09	E24	CS47	11	2.2E-08	E13,E27	CS24	5	8.2E-08	E01	CS01	
35	5.8E-09	E20,E36	CS48	53	1.8E-10	E14,E20	CS25	27	7.0E-09	E02	CS02	
38	5.3E-09	E25,E36	CS49	56	1.7E-10	E14,E25	CS26	40	3.5E-09	E03	CS03	
60	5.4E-11	E26,E36	CS50	65	1.7E-12	E14,E26	CS27	40	3.5E-09	E04	CS04	
16	1.6E-08	E41,E36	CS51	19	1.1E-08	E14,E27	CS28	8	3.2E-08	E05	CS05	
18	1.2E-08	E20,E37	CS52	53	1.8E-10	E15,E20	CS29	14	1.7E-08	E06	CS06	
22	1.1E-08	E25,E37	CS53	56	1.7E-10	E15,E25	CS30	2	1.0E-07	E07	CS07	
59	1.1E-10	E26,E37	CS54	65	1.7E-12	E15,E26	CS31	3	1.0E-07	E08,E20	CS08	
9	3.2E-08	E41,E37	CS55	19	1.1E-08	E15,E27	CS32	4	9.3E-08	E08,E25	CS09	
24	8.7E-09	E28	CS56	53	1.8E-10	E16,E20	CS33	47	9.4E-10	E08,E26	CS10	
24	8.7E-09	E29	CS57	56	1.7E-10	E16,E25	CS34	40	3.5E-09	E09	CS11	
7	3.8E-08	E30	CS58	65	1.7E-12	E16,E26	CS35	40	3.5E-09	E10	CS12	
27	7.0E-09	E31	CS59	19	1.1E-08	E16,E27	CS36	48	3.7E-10	E11,E20	CS13	
23	1.0E-08	E32	CS60	31	6.4E-09	E17	CS37	50	3.4E-10	E11,E25	CS14	
14	1.7E-08	E33	CS61	27	7.0E-09	E18	CS38	63	3.4E-12	E11,E26	CS15	
27	7.0E-09	E34	CS62	26	8.2E-09	E19	CS39	11	2.2E-08	E11,E27	CS16	
37	5.6E-09	E39,E40	CS63	10	2.3E-08	E20,E35	CS40	44	2.2E-09	E12,E20	CS17	
35	5.8E-09	E20,E38	CS64	13	2.1E-08	E25,E35	CS41	46	2.0E-09	E12,E25	CS18	
38	5.3E-09	E25,E38	CS65	52	2.1E-10	E26,E35	CS42	62	2.0E-11	E12,E26	CS19	
60	5.4E-11	E26,E38	CS66	6	6.3E-08	E41,E35	CS43	1	1.3E-07	E12,E27	CS20	
16	1.6E-08	E41,E38	CS67	34	5.8E-09	E21	CS44	48	3.7E-10	E13,E20	CS21	
				32	6.3E-09	E22	CS45	50	3.4E-10	E13,E25	CS22	
				32	6.3E-09	E23	CS46	63	3.4E-12	E13,E26	CS23	

## ۵. جمع‌بندی و نتیجه‌گیری

خروج از خط قطار، پیشامد نامطلوب و ناخواسته‌ای است که در نتیجه ترکیب‌های گوناگونی از خرابی‌های سخت‌افزاری، خرابی‌های نرم‌افزاری، خطاها انسانی و رویدادهای طبیعی رخ می‌دهد و به صورت می‌تواند هزینه‌های هنگفتی را به سازمان و جامعه تحمل کند.

این پژوهش پیشامد نامطلوب "خروج از خط قطار" را با استفاده از تکنیک تجزیه و تحلیل درخت خطا و درخت وقایع یکپارچه فازی مورد ارزیابی قرار داد. برای این منظور، ابتدا با استفاده از اطلاعات جمع‌آوری شده از منابع گوناگون مدلی پرجهزیات از علل ریشه‌ای خروج از خط قطار و سناریوهای بالقوه ناشی از وقوع این پیشامد ایجاد شد. سپس مدل نامبرده با استفاده از ترکیبی از داده‌های موجود و ارزیابی زبانی انجام گرفته توسط کارشناسان کمی‌سازی شد و احتمال و عدد ریسک متناظر با خروج از خط قطار مسافری تعیین شد. در ادامه پژوهش و با هدف فراهم آوردن دیدی پرجهزیات، مدل مذکور از جهات گوناگون مورد ارزیابی و تحلیل قرار گرفت و سهم اجزای گوناگون مدل در ریسک و عدم قطعیت خروجی تعیین شد.

در رابطه بالا،  $R_{IEi}$  و  $R_{IE}$  به ترتیب عدد فازی متناظر با ریسک کل و عدد فازی متناظر با ریسک کل با فرض نقطه‌ای بودن احتمال پیشامد پایانی آن هستند و  $D(R_{IE}, R_{IEi})$  اختلاف بین اعداد فازی  $R_{IEi}$  و  $R_{IE}$  را ارزیابی می‌کند. با استفاده از مفهوم فاصله اقلیدسی دو مجموعه فازی، اندازه اهمیت عدم قطعیت برای پیشامد پایانی آن درخت خطا به صورت زیر محاسبه می‌شود:

$$E\Omega I^{BE!} = ED[B^{IE}, B^{IE!}] \quad (14)$$

در رابطه بالا،  $E\Omega I^{BE!}$  فاصله اقلیدسی دو مجموعه فازی  $R_{IE}$  و  $R_{IEi}$  را نشان می‌دهد.

جدول ۱۱ رتبه‌بندی به دست آمده با استفاده از معیار اهمیت عدم قطعیت فازی را نشان می‌دهد. چنان‌که در این جدول مشاهده می‌شود، از مجموع ۴۱ پیشامد پایانی شناسایی شده، پیشامدهای پایانی "تشخیص ندادن عیب بخشی از قطعه خط"، "باقی ماندن شیء توسط کارکنان خط" و "صدور جواز عبور اشتباہ توسط سیگنالر" به ترتیب با مقادیر اهمیت  $2/26 \times 10^{-7}$ ،  $2/29 \times 10^{-7}$  و  $1/99 \times 10^{-7}$  بیشترین سهم را در عدم قطعیت خروجی فازی دارند و به عنوان بحرانی‌ترین پیشامدهای پایانی برای عدم قطعیت خروجی فازی شناسایی می‌شوند.

جدول ۱۱. رتبه‌بندی اهمیت پیشامدهای پایانی درخت خطای خروج از خط قطار مسافری

FUI			FII			FUI			FII			پیشامد پایانی		
رتبه	مقدار		رتبه	مقدار	پیشامد پایانی	رتبه	مقدار		رتبه	مقدار				
28	7.06E-09		28	1.26E-08	E22	9	1.12E-07		9	1.78E-07		E01		
27	7.06E-09		28	1.26E-08	E23	30	5.78E-09		30	1.26E-08		E02		
40	2.79E-09		40	4.45E-09	E24	36	2.89E-09		36	6.28E-09		E03		
6	1.76E-07		5	3.61E-07	E25	36	2.89E-09		36	6.28E-09		E04		
41	1.86E-09		41	3.68E-09	E26	16	1.53E-08		16	5.07E-08		E05		
1	2.69E-07		1	5.48E-07	E27	20	1.44E-08		17	3.14E-08		E06		
25	7.22E-09		26	1.57E-08	E28	10	8.66E-08		8	1.88E-07		E07		
25	7.22E-09		26	1.57E-08	E29	7	1.53E-07		2	4.53E-07		E08		
13	4.24E-08		13	7.58E-08	E30	38	2.89E-09		38	6.28E-09		E09		
31	5.78E-09		31	1.26E-08	E31	38	2.89E-09		38	6.28E-09		E10		
24	8.66E-09		22	1.88E-08	E32	14	3.02E-08		15	5.96E-08		E11		
21	1.44E-08		18	3.14E-08	E33	5	1.81E-07		6	3.58E-07		E12		
32	5.78E-09		32	1.26E-08	E34	15	3.02E-08		14	5.96E-08		E13		
2	2.29E-07		7	3.41E-07	E35	17	1.51E-08		19	2.98E-08		E14		
11	5.72E-08		11	8.53E-08	E36	17	1.51E-08		19	2.98E-08		E15		
8	1.14E-07		10	1.71E-07	E37	17	1.51E-08		19	2.98E-08		E16		
12	5.72E-08		12	8.53E-08	E38	35	3.06E-09		35	1.01E-08		E17		
29	6.45E-09		24	1.77E-08	E39	33	5.78E-09		33	1.26E-08		E18		
22	1.31E-08		24	1.77E-08	E40	23	1.12E-08		23	1.78E-08		E19		
4	1.83E-07		4	3.93E-07	E41	3	1.99E-07		3	3.95E-07		E20		
						34	4.81E-09		34	1.05E-08		E21		

- Anderson, R.T. and Barkan, C.P.L. (2004) "Analysis of railroad accident rates for use in transportation risk analysis", *Transport Research Record*: 1863, pp. 88-98
- Barkan, C. P. L., Dick, C. T., and Anderson, R. (2003) "Railroad derailment factors affecting hazardous materials transportation risk", *Transport Research Record*: 1825, pp. 64-74
- Bishop, M.I., and Mech, E.M. (1928) "Derailments and their causes", *New Zealand Railways Magazine*, Vol 3, No. 6, pp. 36-38.
- Cho, H. N., Choi, H. H. and Kim, Y. B. (2002) "A risk assessment methodology for incorporating uncertainties using fuzzy concepts", *Reliability Engineering and System Safety*, Vol. 78, pp. 173–83
- Detyniecki, M. and Yager, R. R. (2001) "Ranking fuzzy numbers using alpha-weighted valuations", *International Journal of Uncertainty, Fuzziness and Knowledge-Based Systems*, Vol. 8, pp. 573-592
- Doménech, E., Escriche, I. and Martorel, S. (2010) "Exposure assessment based on a combination of event and fault tree analyses and predictive modeling", *Journal of Food Control*, Vol. 21, No. 10, pp. 1338-48.
- Ericson, Clifton A. (2005) "Hazard analysis techniques for system safety", John Wiley and Sons, Hoboken, New Jersey, United States
- Ferdousa, R., Khana, F., Sadiq, R., Amyotte, P. and Veitcha, B. (2009) "Handling data uncertainties in event tree analysis", *Process Safety and Environmental Protection*, Vol. 87, pp. 283–292
- Gupta, B. L. (1997) "Textbook of railway engineering", Second edition, Standards Publishing, Delhi, India
- Iwnicki, S. D. (2006) "Handbook of Railway Vehicle Dynamics", Taylor & Francis Group, LLC, United States
- Iwnicki, S. D., Parkinson, H. and Stow, J. M. (1999) "Assessing railway vehicle derailment potential using neural networks", *Proceedings of the International*

براساس نتایج تحلیل به عمل آمده، از مجموع ۴۱ پیشامد پایانی شناسایی شده، پیشامدهای "تنظیم اشتباہ سوزن" و "تشخیص ندادن عیب بخشی از قطعه خط" به ترتیب به عنوان بحرانی ترین علل ریشه‌ای برای ریسک کل و عدم قطعیت خروجی فازی شناسایی شدند. همچنین، از میان ۶۷ برش حداقل شناسایی شده، برش حداقل متشكل از پیشامدهای "شکستگی ریل" و "تشخیص ندادن بخشی از قطعه خط" به عنوان بحرانی ترین مسیر علی و از میان ۸۴ سناریو شناسایی شده، سناریو متشكل از پیشامدهای "خروج از خط قطار مسافری" → موقعیت خروج از خط مسیر آزاد باشد ← قطار از حدود جانی مجاز خارج شود ← قطار به سمت خط مجاور منحرف شود ← حداقل یکی از واگن‌های قطار به پهلو بیافتد ← برخورد ثانویه‌ای رخ دهد ← قطار دوم قطاری مسافری باشد" به عنوان بحرانی ترین سناریو برای ریسک کل شناسایی شدند. مدلسازی و تحلیل ارایه شده در این پژوهش از طریق فراهم آوردن دیدی پر جزئیات از علل و سناریوهای بالقوه ناشی از وقوع پیشامد نامطلوب خروج از خط، تصمیم‌گیرنده را در طراحی و اتخاذ اقدامات اصلاحی و راهکارهایی کارآ در راستای کاهش ریسک مرتبط یاری رساند.

## ۶. سپاسگزاری

نویسنده‌گان مقاله لازم می‌دانند از مرکز پژوهش‌های راه‌آهن جمهوری اسلامی ایران، به سبب حمایت مالی و علمی در انجام این پژوهش تشکر و قدردانی کنند.

## ۷. مراجع

- راه آهن جمهوری اسلامی ایران. اداره کل حفاظت و ایمنی سیر و حرکت (۱۳۸۸) "بولتن آماری حوادث سال ۱۳۸۷", تهران: راه آهن جمهوری اسلامی ایران.

- Anderson, R.T. (2005) "Quantitative analysis of factors affecting railroad accident probability and severity", MSc Dissertation, University of Illinois at Urbana-Champaign, Illinois, United States.

- Suresh, P. V., Babar, A. K. and Raj, V. (1996) "Uncertainty in fault tree analysis: A fuzzy approach", Fuzzy Sets and Systems, Vol. 83, pp. 135-141
- Wagner, S. (2004) "Derailment risk assessment", MSc thesis, James Goldston Faculty of Engineering and Physical Systems, Central Queensland University, Australia
- Xiao, X., Jin, X., Wen, Z., Zhu, M. and Zhang, W. (2011) "Effect of tangent track buckle on vehicle derailment", Multibody System Dynamics, Vol. 25, pp. 1-41
- Zadeh, L. A. (1971) "Similarity relations and fuzzy orderings", Information Sciences, Vol. 3, pp. 177-200
- Zhao, J., Chan, A. H. C. and Stirling, A. B. (2006) "Risk analysis of derailment induced by rail breaks, a probabilistic approach", Proceedings of the Reliability and Maintainability Symposium, RAMS '06, Birmingham, UK, pp. 486-491
- IMECHE Conference 'Fault Free Infrastructure', Derby, UK, pp. 1-11
- Koo, J. S., and Cho, H. J. (2012) "A method to predict the derailment of rolling stock due to collision using a theoretical wheelset derailment model", Multibody System Dynamics, Vol. 27, pp. 403-422
- Liang, G. S. and Wang, M. J. J. (1993) "Fuzzy fault tree analysis using failure possibility", Microelectronics and Reliability, Vol. 33, pp. 583-597
- Mundrey, J. S. (2000) "Railway track engineering, Third edition", Tata McGraw-Hill Education, New Delhi, India
- Rail Safety and Standards Board, United Kingdom (2008) "Proposals for the weighting of major and minor injuries"
- Stapelberg, Rudolph Frederick (2009) "Handbook of reliability, availability, maintainability and safety in engineering design", Springer, London, United Kingdom